

# Intéractions magnétiques dans les dihalogénures de vanadium lamellaires VX2 (X = Cl, Br et I)

Michel Niel, Christian Cros, Gilles Le Flem, Michel Pouchard, Paul Hagenmuller

## ▶ To cite this version:

Michel Niel, Christian Cros, Gilles Le Flem, Michel Pouchard, Paul Hagenmuller. Intéractions magnétiques dans les dihalogénures de vanadium lamellaires VX2 (X=Cl, Br et I). Nouveau Journal de Chimie, 1977, 1 (2), pp.127-132. hal-00132248

HAL Id: hal-00132248

https://hal.science/hal-00132248

Submitted on 16 Dec 2021

**HAL** is a multi-disciplinary open access archive for the deposit and dissemination of scientific research documents, whether they are published or not. The documents may come from teaching and research institutions in France or abroad, or from public or private research centers.

L'archive ouverte pluridisciplinaire **HAL**, est destinée au dépôt et à la diffusion de documents scientifiques de niveau recherche, publiés ou non, émanant des établissements d'enseignement et de recherche français ou étrangers, des laboratoires publics ou privés.

# INTERACTIONS MAGNÉTIQUES DANS LES DIHALOGÉNURES DE VANADIUM LAMELLAIRES VX<sub>2</sub> (X = CI, Br ET I)

Michel Niel, Christian Cros, Gilles Le Flem, Michel Pouchard et Paul Hagenmuller

Laboratoire de Chimie du Solide du C.N.R.S., Université de Bordeaux I, 351, cours de la Libération, 33405 Talence. (France). Reçu le 2 novembre 1976.

ABSTRACT. — The magnetic properties of the VX<sub>2</sub> halides (X = Cl, Br, I) have been studied in the temperature range 4.2, —800 K. The reciprocal molar susceptibilities follow a Curie-Weiss law for T > 200 K. The experimental Curie constants and effective moments are in good agreement with the calculated values for S = 3/2. The exchange integrals have been determined by a Rushbrooke and Wood calculation for a Heisenberg antiferromagnetic model and trigonal elementary cells. The results obtained involve strong antiferromagnetic interactions inside the layers. The nature of the couplings is discussed.

Les dihalogénures des éléments de la première série de transition BX<sub>2</sub> (X = Cl, Br, I) ont fait l'objet d'un nombre important de travaux portant essentiellement sur l'étude des propriétés magnétiques <sup>1</sup>. Du fait de leur structure à couches, ces propriétés magnétiques ont été généralement interprétées sur la base de modèles bidimensionnels, dans lesquels on considère que les interactions d'échange sont prépondérantes au sein des couches cationiques.

Des résultats relatifs aux dihalogénures de vanadium VCl<sub>2</sub>, VBr<sub>2</sub> et VI<sub>2</sub> ont été publiés par Klemm et Grimm et plus récemment par Juza et al. <sup>2, 3</sup>. Leur interprétation ne fait pas appel toutefois aux modèles bidimensionnels que suggère leur structure. Il nous a donc semblé intéressant de reprendre ces travaux, compte tenu de notre expérience sur le double plan de l'élaboration généralement délicate des composés du vanadium + II et de l'interprétation du magnétisme mono ou bidimensionnel 4. L'utilisation des calculs effectués par Rusbrooke et Wood pour un modèle de Heisenberg bidimensionnel 6, permet de définir avec précision l'intégrale d'échange J/k qui couple magnétiquement deux cations voisins au sein d'un même feuillet. Il était intéressant également de voir comment cette grandeur évoluait avec la liaison vanadium-halogène au sein d'une famille de composés homologues.

#### Préparation de VCl<sub>2</sub>, VBr<sub>2</sub> et de VI<sub>2</sub>

Nous avons préparé le dichlorure de vanadium selon une méthode mise au point par P. Ehrlich et H. J. Seifert <sup>7</sup> en utilisant la réaction de dismutation du trichlorure VCl<sub>3</sub> à une température voisine de 750°C:

$$2 \text{ VCl}_3(s) \Rightarrow \text{ VCl}_2(s) + \text{ VCl}_4(g).$$

Les échantillons de VCl<sub>2</sub> se présentent sous forme de belles paillettes de couleur vert-jaune parfois recouvertes d'une fine croûte violacée qui est éliminée.

Le dibromure de vanadium était préparé par réduction du tribromure par l'hydrogène à une température n'excédant pas 450°C :

 $VBr_3(s) + 1/2 H_2(g) \rightleftharpoons VBr_2(s) + HBr(g)$ .

Les échantillons de VBr<sub>2</sub> ainsi obtenus se présentent sous forme de poudres de couleur marron clair. L'analyse chimique a montré qu'ils étaient stœchiométriques aux erreurs d'expérience près.

Le diodure de vanadium VI<sub>2</sub> a été synthétisé par action de l'iode sur le vanadium métallique. Le mélange équimolaire, scellé sous vide dans une ampoule de quartz, était chauffé progressivement jusqu'à 850°C:

$$V(s) + I_2(g) \rightarrow VI_2(s)$$
.

Les échantillons de VI<sub>2</sub> se présentent sous forme de fines paillettes cristallines de couleur rouge. Une étude analytique a également conduit à des résultats satisfaisants. Par sublimation à 950°C environ nous avons obtenu de larges plaquettes hexagonales de diiodure. Le tableau I résume nos résultats analytiques.

Les trois halogénures VX<sub>2</sub> étant sensibles à l'humidité atmosphérique, ils ont toujours été manipulés en boîte à gants en atmosphère desséchée.

#### Étude radiocristallographique de VCl<sub>2</sub>, VBr<sub>2</sub> et VI<sub>2</sub>

Toutes les raies observées des spectres de poudre de  $VCl_2$ ,  $VBr_2$  et  $VI_2$  ont été indexées dans un système hexagonal (Tableau II). Les masses spécifiques expérimentales  $\left[\rho_{\rm obs}\!=\!3,09\ (5),\ 4,48\ (2)\right]$  et  $5,23\ (2)\ {\rm g/cm^3}$  impliquent la présence d'un motif par maille élémentaire.

Les dihalogénures  $VCl_2$ ,  $VBr_2$  et  $VI_2$  sont caractérisés par une structure à couches de type  $CdI_2$ . Le réseau peut être décrit comme constitué par des feuillets d'octaèdres  $[VX_6]_n^{4-}$  mettant en commun six de leurs arêtes et se développant perpendiculairement à l'axe  $\bar{c}$  (fig. 1 a). Ces feuillets se déduisent les uns des autres par simple translation de long de  $\bar{c}$  (fig. 1 b). Les ions  $V^{2+}$  situés au sein des plans successifs sont distants d'une valeur égale au paramètre a (3,77 Å pour  $VBr_2$  par exemple). Entre plans (001) adjacents les distances séparant les ions  $V^{2+}$  les plus proches sont égales au paramètre c (6,23 Å pour  $VBr_2$ ).

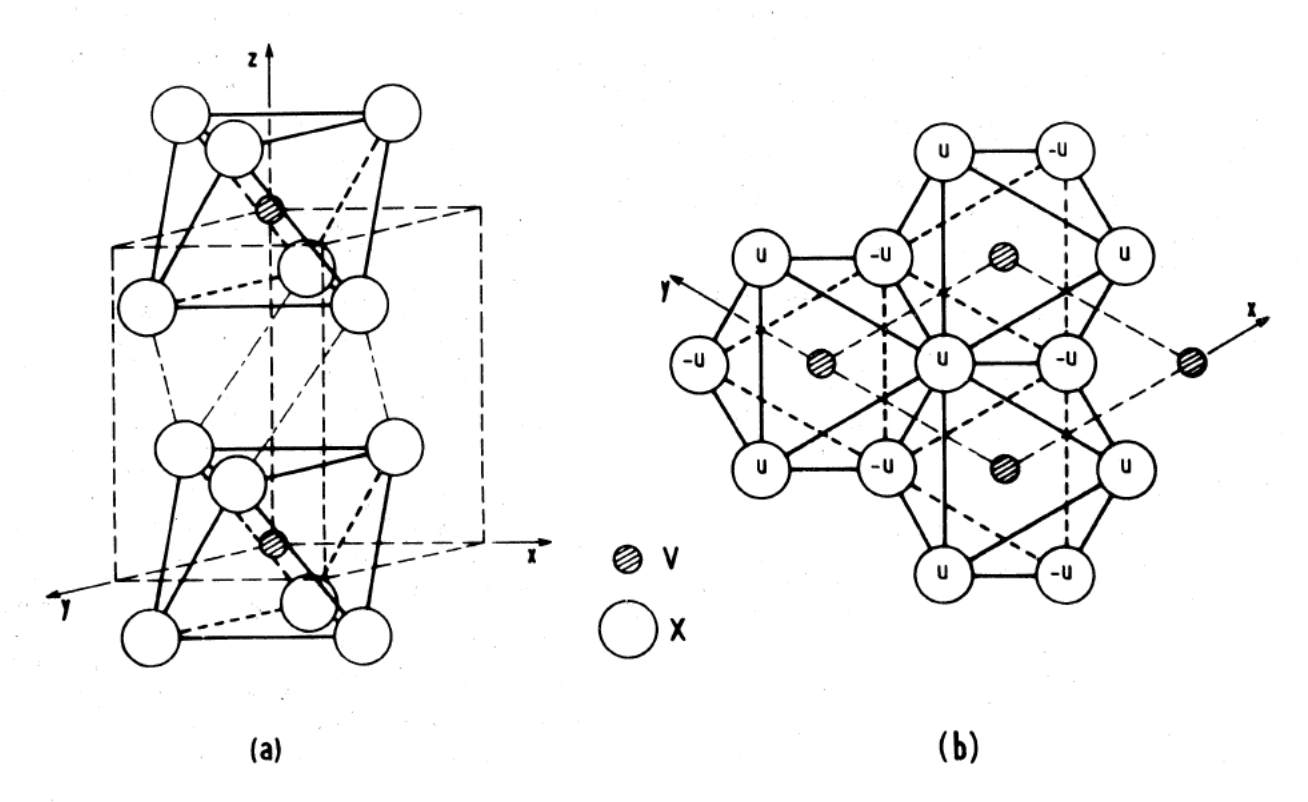
Tableau I. — Données analytiques relatives à VCl2, VBr2 et Vl2.

	VCl <sub>2</sub>		VBr <sub>2</sub>		VI <sub>2</sub>	
	V (%)	Cl (%)	V (%)	Br (%)	V (%)	1 (%)
Valeurs calculées	41,80	58,20	24, 17	75,82	16,72	. 83,28
Valeurs expérimentales	41,5 (6)	57,3 (4)	25.0 (1)	74,8 (1)	16,3 (1)	82,3 (1)

Tableau II. — Données cristallographiques relatives à VCl2, VBr2 et VI2.

		VCl <sub>2</sub>		VBr <sub>2</sub>			VI,					
	a (Å)	c (Å)	Pobs (*)	ρ <sub>calc</sub> (**)	a (Å)	c (Å)	ρ <sub>obs</sub> (*)	Peale (**)	a (Å)	c (Å)	P <sub>obs</sub> (*)	Peale (**)
Notre travail	3,601	5,835	3,09 (5)	3,089	3,776	6,229	4,48 (2)	4,552	4,057	6,750	5,23(2)	5,261
Klemm et Grimm 11	-	-	_		3,768	6,180	4,58	4,607	4,00	6,67	5,44	5,477
Juza et al. 12	_ "	-	-	_	_	-			4,058	6,753	5.26	5,256
Ehrlich et Seifert 7	3,601	5,835	3,09	3,089	-	-	_	-	-	-	-	
W. Van Erk 4		-		-	-	_	_		4,054	6,762	_	-

<sup>(\*)</sup> Valeurs exprimées en grammes par centimètre cube; (\*\*) Valeurs exprimées en grammes par centimètre cube pour un nombre de motif par maille Z=1.



Structure des phases  $VX_2$  (X = Cl, Br, 1) ( $n \approx 1.4$ ), Figure 1.

#### Étude des propriétés magnétiques

Rappels liminaires sur l'ion  $V^{2\,+}\,$  : détermination de la seule contribution de spin a la susceptibilité mesurée

Soumis à l'action d'un champ magnétique  $\vec{H}$ , les ions  $V^{2+}$  sont caractérisés par une susceptibilité molaire  $\chi_M^{\text{mes}}$ , dont la valeur s'écarte de celle correspondant à la seule contribution de spin  $\chi_M^S$ .

Interviennent en premier lieu un effet Zeeman du second ordre (ou paramagnétisme de Van Vleck) et un couplage spin-orbite non négligeable. En plus de ces deux termes il faut tenir compte du caractère partiellement covalent de la liaison V-X (c'est-à-dire d'un transfert partiel des électrons des orbitales du cation vers les orbitales des ligandes) et introduire un facteur de liaison  $k_1$ , qui serait égal à 1 si la liaison était purement ionique, mais qui diminue si elle est covalente  $^8$ .

Dans ces conditions la susceptibilité mesurée  $\chi_M^{mes}$  se réduit à la seule contribution de spin  $\chi_M^s$ :

$$\chi_M^S = \frac{\chi_M^{\text{mes}} - 8 k_1^2 N \mu_B^2 / \Delta}{1 - 8 k_1^2 \lambda_D / \Delta}.$$

Dans cette expression le terme  $8 N \mu_B^2/\Delta$  correspond au paramagnétisme de Van Vleck, N étant le nombre d'Avogadro,  $\mu_B$  le magnéton de Bohr et  $\Delta$  l'éclatement dû au champ des ligandes. Les valeurs de  $\Delta$  relatives à VCl<sub>2</sub>, VBr<sub>2</sub> et VI<sub>2</sub>, mesurées à partir des spectres optiques, sont respectivement de 9 200, 8 600 et 7 900 cm<sup>-1</sup> 9. Le coefficient  $\lambda_0$  est le paramètre de couplage spin-orbite, il est égal à 57 cm<sup>-1</sup> pour l'ion libre V<sup>2+8</sup>.

Nous avons calculé les facteurs de liaison  $k_1$  relatifs à chacun des halogénures en déterminant les valeurs du facteur de Landé g par RPE  $^{10}$ . Pour un ion magnétique soumis à un champ de ligandes octaédrique et dont le terme fondamental est  $^4A_{2g}$ , le facteur de Landé est en effet lié au facteur de liaison  $k_1$  par la relation

$$g = 2\left(1 - \frac{4k_1^2\lambda_0}{\Delta}\right).$$

Nous avons reporté au tableau III les diverses valeurs de g et de  $k_1$ . Nous avons également mentionné les valeurs des distances interatomiques déterminées à partir des paramètres des mailles élémentaires des phases  $VX_2$ , ainsi que la somme des rayons ioniques (nous avons attribué à  $r_{12}$ + la valeur 0,74Å et utilisé pour  $r_{\chi}$ - les données des tables d'Arhens) 11, 12.

Les mesures de RPE ayant été effectuées sur des échantillons de formule  $VX_2$ , c'est-à-dire magnétiquement concentrés dans lesquels apparaissent des perturbations créées par les **atom**es de vanadium voisins, ne peuvent en toute rigueur être assimilées à celles qui seraient relatives à un ion  $V^{2+}$  dil**ué dans** une matrice halogénée diamagnétique, et qui caractériseraient la scule liaison V-X. Cette remarque pourrait expliquer les valeurs relativement élevées de g, notamment celle obtenue pour le diodure pour lequel nous avons attribué à  $k_1$  une valeur zéro qui est évidemment formelle. Cette approximation peut cependant se justifier dans la mesure où, la liaison V-X devenant de plus en plus covalente

lorsqu'on passe successivement du chlore au brome puis à l'iode, on constate bien la diminution attendue du facteur  $k_1$ .

Tableau III. — Données expérimentales relatives à la covalence de la liaison V X.

	VCl <sub>2</sub>	VBF <sub>2</sub>	VI,
g (*)	1,97	1,99	2.02
k.	0.78	0,43	f) (**)
V - X (Å)	2,54	2,67	2.87
$r_{V^2} + r_X - (A)$	2,55	2,70	2.94
$r_{V^2} + r_X - V - X$	1,004	1.011	1,024

(\*) Nous remercions MM. Flandrois et Amiell du C.R.P.P. à Bordeaux pour leur précieux concours lors de la détermination de g.

(\*\*) Valeur formelle de k<sub>1</sub> qui revient à annuler les corrections de susceptibilité dues au paramagnétisme de Van Vleck et au couplage spin-orbite.

#### RÉSULTATS EXPÉRIMENTAUX

L'étude magnétique a été effectuée entre 4,2 et 800 K à l'aide d'une balance de type Faraday.

Nous avons porté à la figure 2 la variation de l'inverse de la susceptibilité magnétique corrigée  $(\chi_M^s)^{-1}$  de VCl<sub>2</sub>, VBr<sub>2</sub> et VI<sub>2</sub> en fonction de la température. Les valeurs de la constante de Curie, du moment effectif et de la température de Curie paramagnétique que nous avons déterminées à partir des données expérimentales corrigées sont rassemblées au tableau IV. Les valeurs de  $\mu_{\text{eff}}$  sont comparées à celles calculées dans l'hypothèse de la seule contribution de spin pour S = 3/2.

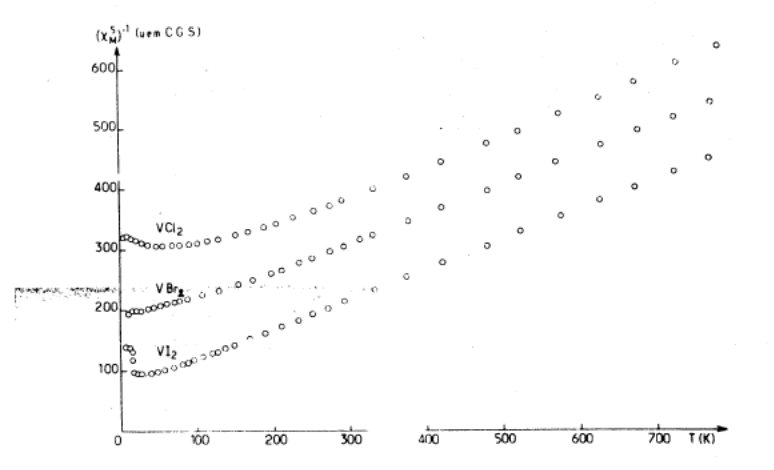
### CALCUL DE L'INTÉGRALE D'ÉCHANGE J/k

Pour déterminer l'intégrale d'échange intraplanaire de  $VCl_2$ ,  $VBr_2$  et  $VI_2$ , nous avons utilisé les calculs de Rushbrooke et Wood effectués pour des interactions antiferromagnétiques bidimensionnelles de type Heisenberg et relatifs à des mailles triangulaires. Pour ce modèle la susceptibilité  $\chi_M$  est liée à la température T par la relation  $^5$ :

$$\begin{split} &\frac{N\,g^2\,\mu_B^2}{\chi_M\,|\,J\,|}\\ &=3\left[\,x+4+\frac{3.20}{x}-\frac{2.816}{x^2}\,+\frac{0.08}{x^3}+\frac{3.45}{x^4}-\frac{3.99}{x^5}\,\,\right]\\ &\text{où}\\ &x=\frac{k\,T}{|\,J\,|\,S\,(S+1)}. \end{split}$$

La figure 3 montre que les courbes  $\chi_{\rm M}^{\rm S}=f(T)$  relatives aux phases  ${\rm VCl}_2$ .  ${\rm VBr}_2$  et  ${\rm VI}_2$  correspondent à haute température à des valeurs de J/k respectivement égales à

23, 16 et 6 K.



**Figure 2.** — Variation thermique de l'inverse de la susceptibilité magnétique  $(X_3^N)^{-1}$  des dihalogénures  $VX_2$   $(X = Cl, Br \ et \ l)$ .

Tableau IV. — Données magnétiques expérimentales et théoriques relatives à  $VCl_2$ ,  $VBr_2$  et  $Vl_2$ .

	$C_{M}$	μ <sub>eff</sub> (μ <sub>B</sub> )	$g\sqrt{S(S+1)}(\mu_{\rm B})$	$\theta_{\mathfrak{p}}(\mathbf{K})$
VCl,	1,96	3,96	3,815	-437
VBr,	2,07	4,07	3,854	-335
VI,	2,07	4,07	3,912	-143

#### Interprétation des résultats obtenus

A basse température la variation thermique de la susceptibilité magnétique de  $VCl_2$  et  $VBr_2$  est très faible. En revanche pour  $VI_2$  elle présente un maximum très prononcé à 25 K, ce qui suppose l'existence d'une température critique  $T_C$  à laquelle s'établirait l'ordre à grande distance  $^1$ .

D'une manière générale dans un modèle de Heisenberg l'existence d'une différence de température entre  $T_C$  et le maximum de susceptibilité reflète la présence d'un ordre à courte distance au-dessus de  $T_C$ . Cet écart s'accroît maximum de susceptibilité reflète la présence d'un ordre à courte distance au-dessus de  $T_C$ , cet écart s'accroît lorsque la dimensionalité du système s'abaisse.  $T_C$  est alors caractérisé par un maximum pour la dérivée  $\partial \chi/\partial T^{-12}$ . La température  $T_C$  est proche pour VI $_2$  de 15 K, alors qu'elle est inobservable pour VCl $_2$  et VBr $_2$ . Des mesures de la susceptibilité sur monocristal en fonction de la direction sont actuellement en cours sur VI $_2$  pour préciser l'ordre tridimensionnel à T< 15 K.

Le modèle de Heisenberg idéal exclut l'existence d'une température critique différente de zéro pour un système bidimensionnel. Un écart à « l'idéalité » du modèle peut résulter soit de l'existence d'une anisotropie caractérisée par un champ  $H_A$  soit d'un couplage J' non négligeable entre plans. En fait le comportement du matériau sera de caractère 2 d anisotrope suivant que  $g \mu_B H_A$  sera supérieur ou inférieur à J'.

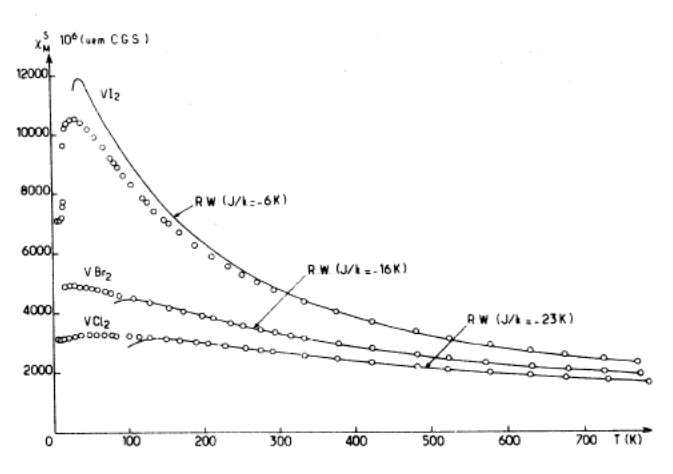


Figure 3. — Comparaison entre les valeurs expérimentales de la susceptibilité magnétique  $X_M^S$  des dihalogénures  $VX_2$  et celles calculées à partir de la relation de Rushbrooke et Wood.

L'influence de l'anisotropie sur un modèle de Heisenberg a été discutée par de Jongh, Bloembergen et Colpa  $^{14}$ . Ces auteurs montrent que tout écart au modèle idéal lié à l'existence d'un champ  $H_{\scriptscriptstyle A}$  se traduit par une température critique  $T_{\scriptscriptstyle C}$  bidimensionnelle toujours supérieure à la température  $T_{\scriptscriptstyle C}^{(2)}$  définie d'après Stanley et Kaplan par la relation suivante  $^{14}$ :

$$T_C^{(2)} = \frac{1}{5}(Z-1)[2S(S+1)-1]\frac{|J|}{k},$$

où Z est le nombre de premiers voisins dans le plan, S la valeur du spin et J/k l'intégrale d'échange intraplanaire. Le système présente alors un caractère bidimensionnel anisotrope. On remarquera qu'un accroissement considérable de l'anisotropie implique le passage d'un modèle de Heisenberg anisotrope au modèle d'Ising.

Pour  $VCl_2$ ,  $VBr_2$  et  $VI_2$  les valeurs de  $T_C^{(2)}$  sont égales respectivement à 143, 98 et 42 K. L'hypothèse d'une anisotropie notable relative à l'ordre magnétique bidimensionnel doit donc être exclue, puisque les valeurs de  $T_C^{(2)}$  sont nettement supérieures aux températures où les susceptibilités passent par des maxima alors qu'elles devraient leur être inférieures.

Par contre l'influence d'une interaction interplanaire J' se traduira par un certain ordre tridimensionnel qui peut être confirmé par la mesure du coefficient critique  $\beta$  qui caractérise l'évolution de l'aimantation des sous-réseaux au voisinage de la température d'ordre.

 $K_2 NiF_4$  par exemple, pour lequel  $J'/J \simeq 10^{-6}$  présente en dessous de  $T_C$  un comportement typiquement bidimensionnel ( $\beta = 0.138$ ); en revanche pour  $CrBr_3$ ,  $J'/J = 6.10^{-2}$  et  $\beta = 0.365$ , valeur très proche de la valeur théorique 0.33 relative à un modèle de Heisenberg de type 3  $d^{-16}$ .

Le cas des trihalogénures de chrome  $CrX_3$  (X = Cl, Br et I) est particulièrement intéressant à analyser. L'ion  $Cr^{3+}$  comme  $V^{2+}$  comporte en effet une configuration en  $d^3$ . La structure des phases  $CrX_3$ , qui dérive du type  $CdI_2$ , est constituée également de couches cationiques séparées par deux couches d'halogènes. A l'intérieur de chaque plan cationique les ions chrome se distribuent de

manière ordonnée dans 2/3 des sites octaédriques de l'empilement hexagonal compact en donnant naissance à des motifs de type « nid d'abeilles » (Z = 3).

Pour les trois composés du chrome les interactions intraplanaires sont ferromagnétiques et la température d'ordre tridimensionnel  $T_C$  caractérise des interactions interplanaires antiferromagnétiques pour  $\mathrm{CrCl_3}$  et ferromagnétiques pour  $\mathrm{CrBr_3}$  et  $\mathrm{CrI_3}^{17}$ . Lorsqu'on passe du chlore à l'iode  $T_C$  augmente en même temps que le rapport J'/J (tableau V).

Transposés aux phases VX<sub>2</sub> (X=Cl, Br et I) ces résultats permettent donc de conclure au caractère tridimensionnel de la température critique de VI<sub>2</sub>, les couplages magnétiques interplanaires étant beaucoup plus importants dans le cas de l'iodure que pour le chlorure ou le bromure. Le signe de J' semble plus difficile à déterminer. Dans CrBr<sub>3</sub> en effet, J' résulte de deux couplages compétitifs antiferro- et ferromagnétique, ce dernier étant cependant prépondérant. La très forte diminution de la température de Curie paramagnétique lorsqu'on passe de VBr<sub>2</sub> à VI<sub>2</sub> permet de supposer que les couplages entre plans sont vraisemblablement à prédominance ferromagnétique.

Dans les composés CrX<sub>3</sub> les interactions intraplanaires sont toutes positives. Elles varient de 5,25 K pour CrCl<sub>3</sub>

Tableau V.

	$T_{\mathcal{C}}$	J'/J		
CrCl <sub>3</sub>	17	3,4.10		
CrBr <sub>3</sub>	33	6.10 -2		
Crl <sub>3</sub>	68	1,2.10		

à 8,25 K pour CrBr<sub>3</sub> et 13,5 K pour CrI<sub>3</sub>. En revanche pour tous les halogénures du vanadium divalent isoélectronique du chrome trivalent, l'intégrale d'échange est négative et passe de -23 K pour VCl<sub>2</sub> à -16 K pour VBr<sub>2</sub> et à -6 K pour VI<sub>2</sub>. On peut donc conclure à un accroissement des couplages ferromagnétiques selon la séquence VCl<sub>2</sub>-VBr<sub>2</sub>-VI<sub>2</sub>-CrCl<sub>3</sub>-CrBr<sub>3</sub>-CrI<sub>3</sub>.

On peut se demander si cette différence de comportement apparemment surprenante entre le vanadium + II et de chrome + III peut s'expliquer à l'aide de la théorie du superéchange, ce qui revient à examiner les divers types d'interactions mises en jeu pour les couplages V<sup>2+</sup>-V<sup>2+</sup> et Cr<sup>3+</sup>-Cr<sup>3+</sup>.

Dans les halogénures VX<sub>2</sub> les atomes de vanadium sont au centre d'octaèdres liés à leurs voisins par six arêtes et l'angle V-X-V diffère peu dans tous les cas de 90°. Il en est de même d'ailleurs pour les phases CrX<sub>3</sub> malgré la réduction à trois du nombre de premiers voisins magnétiques.

En appliquant les règles de couplages magnétiques de Goodenough-Kanamori, on peut considérer trois types d'interactions intraplanaires :

- un couplage antiferromagnétique par recouvrement direct des orbitales  $t_{2g}$ :  $t_{2g}$ - $t_{2g}$  (fig. 4a);
- des couplages par superéchange de type délocalisation :  $t_{2g}$ -p- $e_g$  ferromagnétiques (fig. 4 b),  $t_{2g}$ - $t_{2g}$ - $t_{2g}$  anti-

'ferromagnétiques, ces derniers faisant intervenir les orbitales vides  $t_{2g}$  de l'halogène (fig. 4c);

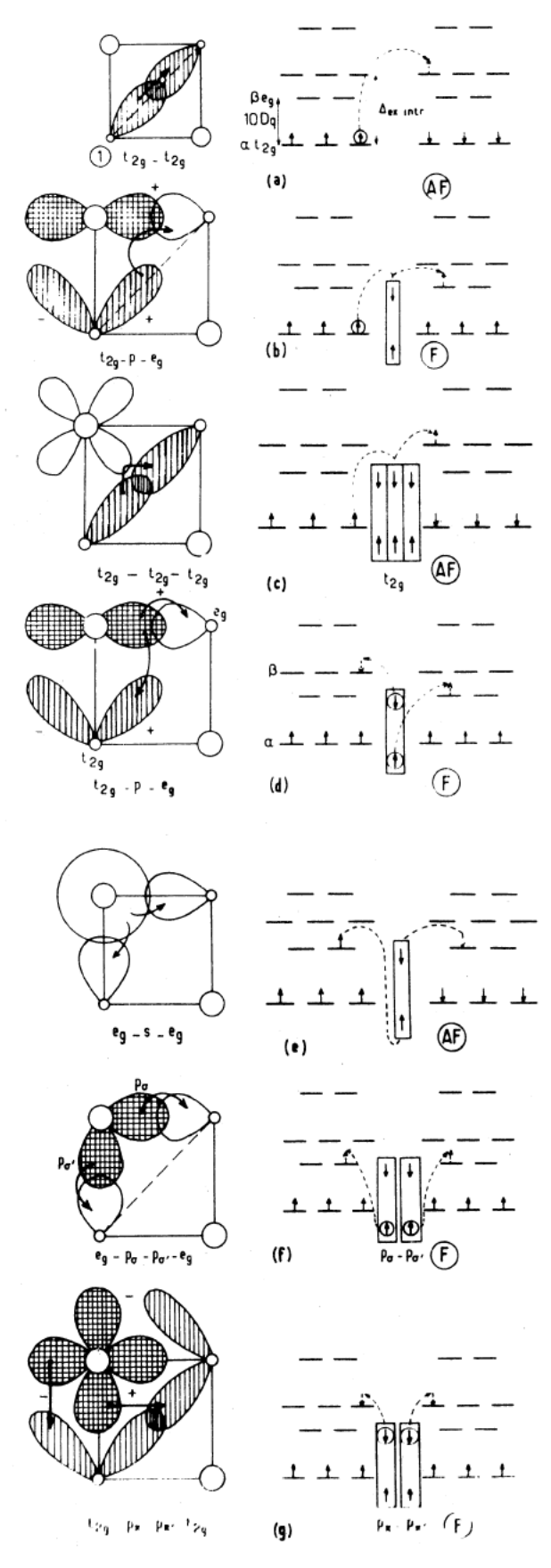


Figure 4. Les divers types de couplages pour des interactions  $d^3$ - $d^4$  à 90°.

– des couplages par superéchange de type corrélation :  $t_{2g}$ -p- $e_g$  ferromagnétiques (fig.~4e),  $e_g$ - $p_\sigma$ - $e_g$  ferromagnétiques (fig.~4e),  $e_g$ - $p_\sigma$ - $p_\sigma$ - $e_g$  ferromagnétiques (fig.~4f),  $t_{2g}$ - $p_\pi p_\pi$ - $t_{2g}$  ferromagnétiques (fig.~4g).

Dans notre cas on ne peut toutefois négliger les mécanismes de couplages décrits par Slater <sup>17</sup> faisant intervenir la polarisation du nuage électronique de l'anion par les spins des cations adjacents et qui, grâce à l'orthogonalité de l'orbitale périphérique s de l'halogène avec les orbitales  $t_{2g}$  du vanadium, accroissent pour ceux-ci les couplages antiferromagnétiques.

Nous avons porté au tableau VI les distances cationcation au sein des phases VX<sub>2</sub> et CrX<sub>3</sub>. On peut remarquer que, sauf peut-être pour les iodures, l'augmentation des distances cation-cation lorsqu'on passe des phases CrX<sub>3</sub> aux dihalogénures VX<sub>2</sub> est sensiblement égale à l'augmentation des rayons cationiques; dans ces conditions lors du changement d'halogène le couplage direct et les couplages par superéchange ne semblent guère, à première vue, se différencier. Cependant les liaisons chrome-halogène, plus covalentes que les liaisons vanadium-halogène, entraînent de toute évidence un renforcement des couplages par superéchange (essentiellement ferromagnétiques) du vanadium au chrome au détriment des couplages par recouvrement direct (antiferromagnétiques).

Tableau VI.

Halogène	Cr-Cr (Å)	V-V (Å)		
Chlore	3,44	3,60		
Brome	3,62	3,77		
Iode -	3,96	4,06		

Parallèlement pour la séquence  $VCl_2$ - $VBr_2$ - $VI_2$  le renforcement des interactions ferromagnétiques illustré par l'accroissement de J/k coïncide avec une augmentation des distances V-V et un accroissement du caractère

covalent de la liaison métal-halogène. L'évolution de J/k pourrait s'expliquer :

- d'une part par l'affaiblissement des couplages directs (antiferromagnétiques) qui sont très sensibles aux distances V-V;
- d'autre part par l'extension des orbitales p, beaucoup plus importante que celle des orbitales s, lors du passage du chlore à l'iode. Le couplage  $t_{2g}$ -p- $e_g$  ainsi que les couplages par double corrélation, qui sont ferromagnétiques, prendraient alors une importance accrue par rapport aux interactions  $e_g$ -s- $e_g$  antiferromagnétiques.

Le caractère ferromagnétique du superéchange interplanaire se renforce quand on passe du vanadium au chrome et lorsque la taille de l'halogène augmente (J' croissant). On peut également attribuer ce phénomène, que nous ne détaillerons pas, à l'accroissement du caractère covalent des liaisons.

#### BIBLIOGRAPHIE

- <sup>1</sup> L. J. de Jongh et A. R. Miedema, Adv. Physics, 23, (1) (1974).
- V. W. Klemm et L. Grimm, Z. anorg. allg. Chem., 249, 198 (1942).
   V. D. Juza, D. Giegling et H. Shäfer, Z. anorg. allg. Chem., 366, 121 (1969).
- W. Van Erk, Thèse, Université de Groningue (1974).
- <sup>5</sup> C. Cros, M. Niel, G. Le Flem, M. Pouchard et P. Hagenmuller, *Mat. Res. Bull.*, **10**, 461 (1975).
- <sup>6</sup> G. S. Rusbrooke et J. P. Wood. *Mol. Phys.*, **6**, 409 (1963).
- P. Ehrlich et H. J. Seifert, Z. anorg. allg. Chem., 301, 282 (1959).
   B. N. Figgis, Introduction to Ligand Fields, Intersciences Publ., New York (1961).
- <sup>9</sup> W. E. Smith, J. Chem. Soc., Dalton Trans., 1634 (1972).
- <sup>10</sup> S. Flandrois et J. Amiell, Communication privée.
- <sup>11</sup> R. Feurer, Thèse de Docteur Ingénieur, Université de Bordeaux I (1974).
- <sup>12</sup> L. H. Ahrens, Geochim. and Cosmochim. Acta, 2, 155 (1952).
- <sup>13</sup> D. H. Martin, Magnetism in Solids, Ed. London Iliffe Books, Ltd (1967).
- <sup>14</sup> L. J. Jongh, P. Bloembergen et J. H. P. Colpa, *Physica*, **58**, 305 (1972).
- 15 H. E. Stanely et T. A. Kaplan, Phys. Rev. Letters, 17, 913 (1966).
- S. D. Senturia et G. B. Benedek, *Phys. Rev. Letters*, **17**, 475 (1966).
   E. J. Samuelsen, R. Silberglitt et G. Shirane, *Phys. Rev.*, B, **3**, (1), 157 (1971).
- 18 J. C. Slater, Quant. Progr. Rep., M.I.T. (1953).